

二値画像の画質判定

美濃 尊彦
(京都大学)

1. えがき

文書画像の処理技術の発展に伴って対象画像に対する制限はゆるめられなければならない。この場合、すべての入力画像に対して画一的な処理を施しても、よい結果は期待できない。

現実に存在する文書は、大きく分けると次の3種類になる。

- (i) 描かれている文字が薄くなつた“ひすれ”文書
- (ii) 文字のつぶれ・紙の地による雜音・その他種々の汚れの混在した“汚染”文書
- (iii) 文字がつぶれたりかすれたりしていられない“良質”文書

現在、計算機で処理されている文書画像は主に(iii)の分類に属するものであり、(i)や(ii)に属する画像は取扱いの対象外となる事が多い。しかし、(iii)に属する画像を処理する場合はとも、入力装置に起因する雜音や2値化の閾値など種々の原因により入力された画像が、(i)や(ii)に近づくこともある。このような問題に対しても、現在までに種々の研究があり、主として2値化の問題、データ圧縮の問題として扱われている¹⁾。

実際、事務所や工場など利用されていいる文書は、コピーの繰り返しなどのために汚れが激しい。また、新聞紙面なども紙の質が悪く裏の印刷が透けて見える。これらの画像は、計算機に入力すれば、ほとんどが(i)(ii)の分類に属する画像となる。これらの画像に対しては、2値化の部分での前処理だけでは十分な効果は期待できない。

(i)(ii)の分類に属する画像の低下した文書を扱う場合、以後の処理の方向づけを行ふ意味で、3種類（黒を付加

坂井 利元
工学部)

する・黒を落とす・その中間、(i)(ii)(iii)に対応）に分類する必要がある。我々は、2値の線図形を扱う理論として、MOLD理論(Mesh Oriented Line Drawings' Theory)を提案し、サンプリング間隔が対象とする線の太さに対して充分細ければ、2値の線図形が 3×3 の単位メッシュで定義された66個の合法パターンのみで記述できることを示した。²⁾合法パターンは、局所的に正しい線を表現していると考えられるので、この合法パターンを基礎にして画質が判定できると思われる。

2. MOLD理論²⁾

2.1 MOLD理論概要

2値の線図形は自然画像と違って、人工的に生成された画像であり、強い拘束をもっている。この拘束条件を単位メッシュにおいて表現することを考えたのがMOLD理論である。

ノクシミリなどにより入力された2値の線図形を構成している線は、デジタル幾何学において定義されるようなデジタル弧にはならない。これらの線は、一般に瘤のある現実的な線である。MOLD理論では対象とする線をデジタル線と名付ける。デジタル線は、それには含まれる任意の黒画素が4隣接の意味で2つ以上、相互に8隣接の意味で隣接した黒画素を持ち、かつ、その補集合の白画素も同一の条件を満たすものとして定義される。²⁾

現実に存在する線は、サンプリング間隔を十分細くすれば、必ずデジタル線になる。そのための必要な条件は、サンプリング定理で定まるサンプリング間隔の半分以下での細かさでサンプリングすることである。

デジタル線をそれより細かい単位メッシュ（一般的には $m \times m$ の正方形の意、ここでは、 3×3 に固定する²⁾）で観測すると、その中に起ニリ得る白黒パターンは限定される。すなむち、対象がデジタル線であるという拘束に合致するパターン（これを合法パターンと呼ぶ）とそれ以外のパターン（これを非法パターンと呼ぶ）に分割できる。図1は 3×3 の単位メッシュに対する合法パターン66個を掲げる。

線の太さが単位メッシュより大きいという仮定が満たされていいる場合、この66個の合法パターンのみの累積率は現実にある2値画像を調査した結果、全体の99%以上に亘り、た。最も頻度の高いオール白のパターンを除外しても95%以上の値を示す。このことを考慮すれば、2値の線図形をメッシュに分割し、個々の単位メッシュが合法パターンのみからなる画像が作成できる。この時に対象画像の画質に関する知識があれば、処理の方向づけが可能であり、非法パターンを合法パターンに置き換える変換が画質改善処理となる。

2.2 画質判定における制限

一般に性質の異なるものが入力された場合に、それを分類することは色々な方面で重要なである。ここでは、後の処理を黒画素を付加する方向へ進めるか、黒画素を落とす方向か、対称に扱うかを決定するために画質判定を行う。

ところが、一枚の画像は全体的に“汚染”したり“かすれ”たりしていることもありながら、一般的にはその一部分だけの

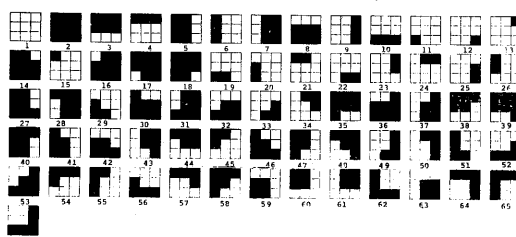


図1 合法パターン

画質が落ちていると考えなければならぬ。これは入力装置などのシエーディングにより頻繁に起こる現象である。この問題を考慮すれば、画質の判定はできるだけ小さな領域で行う必要がある。しかし、この領域を小さくとりすぎると画質の判定が困難になることが予想される。従って、今回の実験ではA4サイズ（ファクシミリ高画質モードで入力した時、1728×2352画素）の画像の約60分の1に相当する256×256画素（合法パターンが 3×3 のため3の倍数とした）の大きさで判定を行う。

3. 画質と特微パラメータ

3.1 画質の分類

2値の画像が汚染“良質”“かすれ”などの状態であるかという問題は、概念的なものであり、その判断の境界は明確ではない。

そこで、画質の判定基準を“地”での雜音と線の欠け・途切れに置くことにする。つまり、線のない部分に黒画素

Cela est d'autant plus valable que l'AF est plus grande. A cet égard la figure 2 représente la trace courbe donnée (a) et en fonction de / pour les valeurs numériques indiquées page précédente.



Dans ce cas le filtre adapté pourra être considéré conformément à la figure 2, par exemple :

— d'un filtre passe-haut de transfert unité pour $f_c = 1/2 \times 1/3 = 1/6$ et de transfert quasi nul pour $f_c < 1/2$ et $f_c > 1/3$ et de transfert quasi nul pour les composants le traversant ;

Fig. 2



Dans ce cas le filtre adapté pourra être considéré conformément à la figure 2, par exemple :

— d'un filtre passe-haut de transfert unité pour $f_c = 1/2 \times 1/3 = 1/6$ et de transfert quasi nul pour $f_c < 1/2$ et $f_c > 1/3$ et de transfert quasi nul pour les composants le traversant ;

Cela est d'autant plus valable que l'AF est plus grande. A cet égard la figure 2 représente la trace courbe donnée (a) et en fonction de / pour les valeurs numériques indiquées page précédente.



Dans ce cas le filtre adapté pourra être considéré conformément à la figure 2, par exemple :

— d'un filtre passe-haut de transfert unité pour $f_c = 1/2 \times 1/3 = 1/6$ et de transfert quasi nul pour $f_c < 1/2$ et $f_c > 1/3$ et de transfert quasi nul pour les composants le traversant ;

Cela est d'autant plus valable que l'AF est plus grande. A cet égard la figure 2 représente la trace courbe donnée (a) et en fonction de / pour les valeurs numériques indiquées page précédente.



Dans ce cas le filtre adapté pourra être considéré conformément à la figure 2, par exemple :

— d'un filtre passe-haut de transfert unité pour $f_c = 1/2 \times 1/3 = 1/6$ et de transfert quasi nul pour $f_c < 1/2$ et $f_c > 1/3$ et de transfert quasi nul pour les composants le traversant ;

Cela est d'autant plus valable que l'AF est plus grande. A cet égard la figure 2 représente la trace courbe donnée (a) et en fonction de / pour les valeurs numériques indiquées page précédente.



Dans ce cas le filtre adapté pourra être considéré conformément à la figure 2, par exemple :

— d'un filtre passe-haut de transfert unité pour $f_c = 1/2 \times 1/3 = 1/6$ et de transfert quasi nul pour $f_c < 1/2$ et $f_c > 1/3$ et de transfert quasi nul pour les composants le traversant ;

Cela est d'autant plus valable que l'AF est plus grande. A cet égard la figure 2 représente la trace courbe donnée (a) et en fonction de / pour les valeurs numériques indiquées page précédente.



Dans ce cas le filtre adapté pourra être considéré conformément à la figure 2, par exemple :

— d'un filtre passe-haut de transfert unité pour $f_c = 1/2 \times 1/3 = 1/6$ et de transfert quasi nul pour $f_c < 1/2$ et $f_c > 1/3$ et de transfert quasi nul pour les composants le traversant ;

Cela est d'autant plus valable que l'AF est plus grande. A cet égard la figure 2 représente la trace courbe donnée (a) et en fonction de / pour les valeurs numériques indiquées page précédente.



Dans ce cas le filtre adapté pourra être considéré conformément à la figure 2, par exemple :

— d'un filtre passe-haut de transfert unité pour $f_c = 1/2 \times 1/3 = 1/6$ et de transfert quasi nul pour $f_c < 1/2$ et $f_c > 1/3$ et de transfert quasi nul pour les composants le traversant ;

Cela est d'autant plus valable que l'AF est plus grande. A cet égard la figure 2 représente la trace courbe donnée (a) et en fonction de / pour les valeurs numériques indiquées page précédente.



Dans ce cas le filtre adapté pourra être considéré conformément à la figure 2, par exemple :

— d'un filtre passe-haut de transfert unité pour $f_c = 1/2 \times 1/3 = 1/6$ et de transfert quasi nul pour $f_c < 1/2$ et $f_c > 1/3$ et de transfert quasi nul pour les composants le traversant ;

Cela est d'autant plus valable que l'AF est plus grande. A cet égard la figure 2 représente la trace courbe donnée (a) et en fonction de / pour les valeurs numériques indiquées page précédente.



Dans ce cas le filtre adapté pourra être considéré conformément à la figure 2, par exemple :

— d'un filtre passe-haut de transfert unité pour $f_c = 1/2 \times 1/3 = 1/6$ et de transfert quasi nul pour $f_c < 1/2$ et $f_c > 1/3$ et de transfert quasi nul pour les composants le traversant ;

Cela est d'autant plus valable que l'AF est plus grande. A cet égard la figure 2 représente la trace courbe donnée (a) et en fonction de / pour les valeurs numériques indiquées page précédente.



Dans ce cas le filtre adapté pourra être considéré conformément à la figure 2, par exemple :

— d'un filtre passe-haut de transfert unité pour $f_c = 1/2 \times 1/3 = 1/6$ et de transfert quasi nul pour $f_c < 1/2$ et $f_c > 1/3$ et de transfert quasi nul pour les composants le traversant ;

図1 合法パターン

図2 画質の例 (上: 可能 中: 良質 下: 汚染)

がある程度存在すればこれを“汚染”とし、線が欠けたり途切れたりしてい此時これを“かすれ”とする。以上9特徴的性質の目立たない（詳細に観察して初めてわかるような状態は考えない）ものを“良質”と分類する。

この基準は主觀的で、“良質”と“汚染”、“良質”と“かすれ”的境界が判断する人によつて多少変動する。しかし、境界の辺りにある画像は、対称処理をして黒落とし処理・黒埋め処理をしてから大差はない。実用上問題はないと思われる。図2に種々の画質の画像の例を示す。上段の3枚を“かすれ”的分類に、中段の3枚を“良質”的分類に、下段の3枚を“汚染”的分類に入れると。（図2の画像は、種々のレベルの青焼きをコピーして作成した。紙質の悪い原稿をコピーしたところ、図2の下段と大きな違いはない）。

3.2 合法パターンの特徴

図1に示した66個の合法パターンは、形状で分類すれば図3に示した7つのグループに分かれれる。すなはち、合法パターン内すべてが同種類画素のグループ（合法パターン番号1~2）、白画素と黒画素が1対8のグループ（合法パターン番号11~18）などに分類できる。

また、方向性で分類すれば図4に示す7つのグループに分類できる。例えば、デジタル線と3×3の窓の位置関係に基づいて、デジタル線の右下に窓が位置している時に出現する合法パ

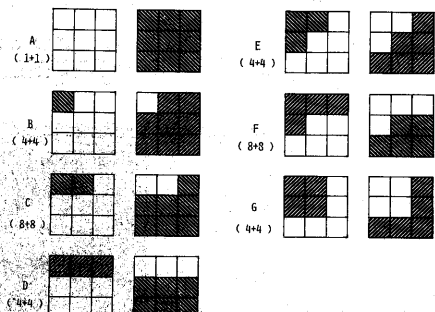


図3 合法パターンの形状による分類

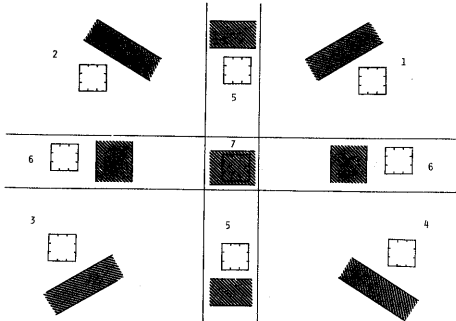


図4 合法パターンの方向性による分類

ターンのグループが図4の④である。斜め線を表現する4つのグループに対しては、窓を1画素単位で移動させて統計をとった際、対象画像内に存在する線がすべて基本仮定『デジタル線の太さ=単位メッシュサイズ（窓）』を満たしているならば、図5に示す7つの関係（④グループの例）が成立する。

実際のデータに対して、66個の合法パターンに対する統計量が、対象画像の画質の劣化とともにどの程度変化するかを調べた。CCITTの7号シニリ用テスト原稿 NO1（英文活字）の3種類の品質（かすれ・良質・汚染）の画像に対して統計をとった結果の一部分を図6に示す。画像サイズは1728×2352pixの窓を1画素毎に走査させたのでサンプル総数4,056,100個である。

図6を形状の分類と関連づけて考える。④グループの合法パターン（3~10）の出現頻度は、“良質”画像ではほぼ一定であったのにに対して“汚染”画像“かすれ”画像では凹凸が激しくなって

$$\begin{array}{l}
 (1) \quad \begin{array}{c} \blacksquare \\ \diagup \diagdown \end{array} + \begin{array}{c} \blacksquare \\ \diagup \diagdown \end{array} + \begin{array}{c} \blacksquare \\ \diagup \diagdown \end{array} = \begin{array}{c} \blacksquare \\ \diagup \diagdown \end{array} \\
 (2) \quad \begin{array}{c} \blacksquare \\ \diagup \diagdown \end{array} + \begin{array}{c} \blacksquare \\ \diagup \diagdown \end{array} + \begin{array}{c} \blacksquare \\ \diagup \diagdown \end{array} = \begin{array}{c} \blacksquare \\ \diagup \diagdown \end{array} \\
 (3) \quad \begin{array}{c} \blacksquare \\ \diagup \diagdown \end{array} + \begin{array}{c} \blacksquare \\ \diagup \diagdown \end{array} = \begin{array}{c} \blacksquare \\ \diagup \diagdown \end{array} \\
 (4) \quad \begin{array}{c} \blacksquare \\ \diagup \diagdown \end{array} + \begin{array}{c} \blacksquare \\ \diagup \diagdown \end{array} = \begin{array}{c} \blacksquare \\ \diagup \diagdown \end{array} \\
 (5) \quad \begin{array}{c} \blacksquare \\ \diagup \diagdown \end{array} + \begin{array}{c} \blacksquare \\ \diagup \diagdown \end{array} = \begin{array}{c} \blacksquare \\ \diagup \diagdown \end{array} + \begin{array}{c} \blacksquare \\ \diagup \diagdown \end{array}
 \end{array}$$

図5 合法パターン間の関係

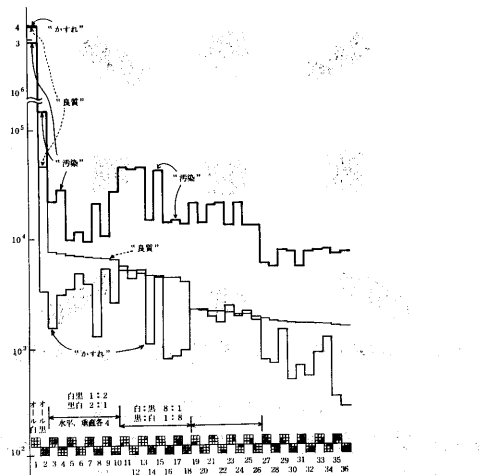


図6 合法パターンの出現頻度

いる。これは、対象画像上にあらうデジタル線に雜音がのっていふことを意味する。すなはち、線を1画素単位で移動させた場合、例えば合法パターン6(■)が存在すれば必ず合法パターン5(■)もその隣で存在する。従つて、“良質”画像の統計では、対象画像内にある線がほぼデジタル線であるので、Bグループ肉での出現頻度が平坦になつてゐる(ただし、線の方向に偏りがある場合は例外)。

Bグループの合法パターン(11~18)の出現頻度分布と“良質”画像に比べて“汚染”画像や“かけれ”画像で凹凸が激しい。デジタル線が途切れたり、孤立点が多いと、Bグループ左側の■の形状をもつ合法パターンや増加することは容易に理解できる。右側の■の形状をもつ合法パターンは“汚染”画像では“良質”的場合より全体的に増加する(これは、ノイズの中にあらうこれらのパターンが出現するためである)が、“かけれ”画像の場合は、かほり減少すると考えられる。Cグループの合法パターンについても同様の傾向がみられる。

図4の方向性による分類では、至小程大きな特徴は統計量から見出すことはできない。しかし、この分類により対象がアルファベットか、日本語であ

るかを識別できる可能性がある。

図5の関係は“良質”の画像では、近似的に成立するが、“汚染”、“かけれ”画像の場合は、ズレが大きくなつてくる。これは、これらの規則が局所的に線の形成をケツツフすることに起因する。例えば(2)の規則では、■(合法パターン5)が出現した時、次に線が右へ1画素移動すれば、対象が基本仮定を満たしているデジタル線である場合、必ず■(合法パターン11)になる。これ以外のパターンに対する場合は、デジタル線ではない。これが規則(2)における左边と右辺のズレにつながる。

3.3 特徴パラメータの定義

画質を判定する時に有用であると思われる特徴パラメータを上記の合法パターンに基づいて考察する。我々の前提条件は、 255×255 のサイズの2値画像1枚が与えられた時にその画像の画質を判定することである。従つて“良質”的画像と比較することはできない。さらに、その中に含まれてゐる黒画素の割合を表わすパラメータも使用できない。なぜならば、対象画像の中には文字が多く存在する場合があり、画面の一部で線がわざわざかしく存在しないこともあるからである。これは、処理の方向づけのために行う前処理であるから複雑な処理も好ましくない。また画像サイズが小さいので統計に基づく処理をする場合は注意が必要である。

ここでは、前節の統計と上記の考察に基づいて表1に示す29個のパラメータを特徴として定義する。これらのパラメータは、すべて 3×3 の窓を対象とする画像上に1画素単位で走査させて取得した統計に基づいて計算する。

1番目のパラメータは、合法パターンの比率である。 3×3 の窓内がすべて白のパターン(Wパターン)を統計から除いて計算することにより、対象画像内の黒画素の量に依存しないパラメ

表1 特徴パラメータ

パラメータ番号	内容	パラメータ番号	内容
1	合法パターン比率	19	合法パターン規則4
2	Bグループ内比率 	22	
3	Cグループ内比率 	23	合法パターン規則5
4	オール黒パターン頻度順位	26	
5	Wパターン連続度比(走査方向)		
6	Wパターン連続度比(空間内)		Bグループ/Bグループ
7	合法パターン規則1 	27	
10			
11	合法パターン規則2 	28	Cグループ/Cグループ
14			
15	合法パターン規則3 	29	方向性(④/⑥)
18			

一タが得られる。

2・3番目のパラメータは、図3におけるB・Cグループ内の比率である。これらは、対象画像内に含まれている黒画素のまとまり具合を示していると考えられる。“かすれ”た画像では分母のパターン(・)が減少し、分子のパターン(・)が増加する。

4番目のパラメータは、合法パターン2(オール黒のパターン)の統計における順位である。デジタル線の境界の部分は64個の合法パターンに分割されてしまうが、線の内部で必ず合法パターン2が現れる。従って線が途切れたりかすれたりしていなければ、オール黒のパターンは必ず2位になる(これは線の太さに依存する)。

5・6番目のパラメータは、Wパターンの連続性を示す。5番目は走査方向に30個Wパターンが連続して存在する比率、6番目は縦15個・横15個の正方形領域内がすべてWパターンである比率である。これらの比率は対象画像内に存在する文字や線の量に依存する。

7~26番目までは、図5に示した斜め方向成分に対する合法パターン間の関係に基づくパラメータであり、可べて左辺/右辺の比率で定義する。1つの規則の関係は図4に示す4方向(①②③④)で成立するので、それだけ4つのパラメータをもつ。画質の低下によりこの比率は1から離れていく。

27番目と28番目のパラメータは、直線性のパターンと斜め線のパターンとの比率である。画質の低下は直線性パターンの減少と斜め線パターンの増加に結びつく可能性があるため、このパラメータを入れてある。

29番目のパラメータは、Dグループ内での凹凸を割定するためのパラメータである。

4. 画質の判定

4.1 特徴パラメータの評価

表1に示した29個の特徴パラメータの評価基準として、次式で示す画質クラス間での分散に対する画質クラス内の分散の比(F-ratio)を考える。

1番目の特徴パラメータの下比は次のようになる。

$$F_R = \frac{\frac{1}{m} \sum_{r=1}^m (\bar{X}_R(r) - \bar{\bar{X}}(r))^2}{\frac{1}{(n-1)m} \sum_{r=1}^m \sum_{j=1}^n (X_{Rj}(r) - \bar{X}_R(r))^2}$$

ただし $X_{Rj}(r)$: クラストのj番目のサンプルのr番目の特徴パラメータ

$$\bar{X}_R(r) = \frac{1}{n} \sum_{j=1}^n X_{Rj}(r)$$

クラス内平均値

$$\bar{\bar{X}}(r) = \text{全クラスに対する平均値}$$

n: 各クラスのサンプル数

m: クラスの数

図2に示した内で中央の列の画像をそれぞれのクラスの代表サンプルとして選ぶ。使用した画像はCCITTのファシミリ用テスト原稿 NO.1(英文手紙)NO.2(手書き線画), NO.4(欧文活字), NO.6(政文文書)の4種類で、各々から40枚の255×255の画像を切り出して

表2 クラス間のF比

	1	2	3	4	5	6	7	8	9	10	11	12	13	14	15
a-b-c	0.7464	0.2289	0.1949	0.1073	0.7230	0.6438	0.6651	0.3689	0.3103	0.0802	1.1367	1.1555	1.0862	1.2213	1.0035
b-c	1.0528	0.1596	0.2211	0.0060	0.5717	0.7000	0.1193	0.1904	0.0481	0.2146	2.3924	2.0640	2.0714	2.1234	1.5398
a-b	1.1321	0.3320	0.2219	1.1681	0.0236	0.0026	0.6554	0.2957	0.2644	0.7791	0.8134	0.7829	1.0003	0.9450	1.3434
a-c	0.0019	0.0679	0.0705	0.9026	0.9524	0.9617	0.4099	0.2579	0.2088	0.5705	0.1345	0.2038	0.0636	0.1519	0.0025

a=青黒 b=良質 c=汚染

	16	17	18	19	20	21	22	23	24	25	26	27	28	29		
a-b-c	0.9429	1.0509	0.8777	0.7413	0.4437	0.4009	0.4160	0.4001	0.5853	0.6909	0.7360	0.2838	0.1283	0.0003		
b-c	1.4996	1.5543	1.3927	0.2417	0.1970	0.2132	0.2676	0.2992	0.3456	0.3555	0.7111	0.9377	1.0813	0.1241	0.1916	0.0061
a-b	1.2441	1.4457	1.1598	0.6502	0.3717	0.3717	0.2918	0.2779	0.0263	0.0501	0.1325	0.0642	0.1140	0.0792	0.0038	
a-c	0.0013	0.0051	0.0010	0.4793	0.2969	0.2779	0.0263	0.0501	0.1325	0.0642	0.1140	0.0792	0.0038			

特徴パラメータを計算した。

3クラス全体と2クラスの組み合いで3種類に分けてF比を計算した結果を表2に示す。3クラスを分離するF比は、3つ4クラスを別々に分離する能力をもつやうかは明確ではない。

そこで、2クラス間を分離するパラメータのF比も計算した。この結果を見れば明らかのように、“良質”を“汚染”、“かすれ”から区別するのに有効なパラメータは、1番の合法パターン比率と10~13番の合法パターン規則2、14~17番の合法パターン規則3の9つのパラメータであると思われる。図2に示した9枚の画像の中で中央を除いた8枚と同程度の画質の画像について統計をとり各クラス内のパラメータの平均値を求めた。図7(a)に1~10~14番についてのグラフを示す。

このグラフからわかるように、これらのパラメータは良質の付近で最大にはつており、良質画像を分離する上で有効であることがわかる。

“汚染”と“かすれ”を分離するのに有効なパラメータは、4番のオール黒パ

ターン頻度順位と5~6番のWパターンの連続性、7~10番の合法パターン規則1、18~22番の合法パターン規則4の11個であると思われる。前の場合と同様、図7(b)にパラメータ4,5,6,7と18について平均値をグラフで示す。

パラメータ2,3はあまり有効ではないが、対象画像がかすれると大きめの値を示す。従って極端なかすれ画像を検出する時に役に立つ。

パラメータ23~29は、表2から考えると、画像の判定にはほとんど無用であることが判明する。

合法パターン規則(1)には■、(4)には■のパターンが含まれている。これらのパターンは画像がかすれると、極端に少なくてなくなる。これは図6のグラフより読み取れる。“汚染”と“良質”では、これらのパターンは少し程度変化しない。従って、合法パターン規則(1)~(4)は“汚染”と“かすれ”を区別できる。

これに対して、合法パターン規則(2)には■、(3)には■のパターンが含まれている。これら2つのパターンは、画質が低下して劣化したりかされたたりすると、他のパターンに比べて極端に増加していることが、図6のグラフより読み取れる。このことは、これらの規則が“良質”を“汚染”・“かすれ”から分離するのに有効である原因と考えられる。

4.2 画質判定の方法

前節で有効であると判定されたパラメータは、ほとんどが良質の付近で極端値をとっている。このことより、“汚染”・“かすれ”・“良質”的3つのクラスを優先順位をつけずに分類するよりも、二段階の判定を行う方が有効であると考えられる。すなはち、未知画像が入力されたとき、まずそれが“良質”であるか

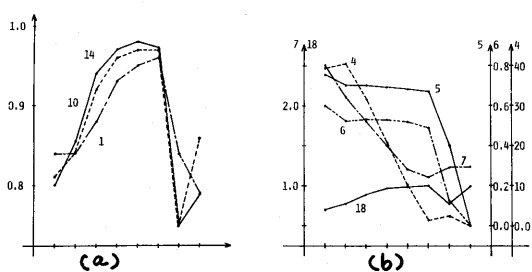


図7 特徴パラメータの平均値のグラフ

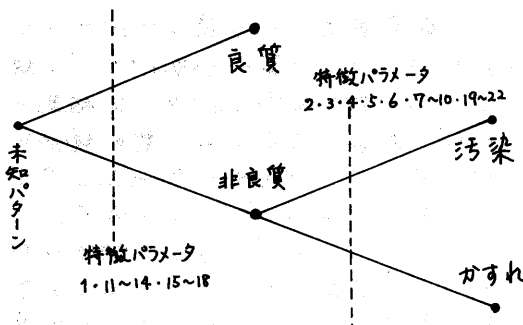


図8 画質の判定法

どうかを判定し、“良質”でないと判定されたものについて“汚染”か“かすれ”かを判定するという二段階の分類を行う。(図8参照)

図2に示した9種類の画像に対して各4枚、それらの画像から最大40サンプルを抽出し、29個の特徴パラメータに対して統計をとり、各クラスの特徴パラメータの平均値をとって標準パターンとした。同時に各々のパラメータに対して、そのクラス内での分散の値も計算しておく。未知のサンプルにより計算した特徴パラメータを、それらに独立に評価する。評価の方法は、標準パターンとのユークリッド距離とマハラナビス距離の平均距離に基づいて、あるクラスに属する可能性をアジー値として評価する。

個々のパラメータに対する評価値を荷重平均し、ある閾値と比較することにより最終判定を行う。重みはF比に基づいて決定する。

エラーに対する評価は、“良質”と“汚染”又は、“良質”と“かすれ”間の誤はる程度を基準とした。しかし、“汚染”と“かすれ”間の誤りは、後の処理が全く反対方向に進むため、誤差が大きく許容されないとする。能って、このエラーの可能性がある場合は拒否する(又は、“良質”と判定される)方がよい。また、画質は“かすれ”から“汚染”へと連続的に変化するが、その中間にあらう“良質”が先に分離でき

れば、次の段階での“かすれ”、“汚染”的判定は、かなり簡単になる。単調減少を示す特徴パラメータでは、この効果は特に有効である。

4.3 実験結果

実験のためのシステムは、サイクルタイム650 ms のパナフアコム U300 計算機システム(主記憶容量 64 Kバイト)上でFORTRAN を用いて作成した。切り出した255×255 画素の画像はDISK上にある。一枚の画像の判定に要する時間は約80秒であった。

このシステムでは、まず良質であるかどうかを、合法パターン比率と合法パターン規則2・3を用いて判定する。

“汚染”または“かすれ”と判定された画像に対してのみ、Bグループ内の比率(2)、Cグループ内の比率(3)、オール黒の頻度順位(4)、Wパターンの連続性(5・6)、合法パターン規則1(7~10)、4(19~22)を用いて2回目の判定を行う。

2・3・4の3つのパラメータは、デモン的な働きをする。つまり、これらのパラメータは、分散が大きいので、本来はあまり有効でない。しかし、これらのパラメータ値がある閾値をこえると、それはかなり高い確率であるクラスに属していようと判断できる。それ以外の場合は、判定に全く寄与しない。この判定では誤りは許容されないので、リジェクト率が少くないのもよいとする。

実験データとしては、標準パターンを作成時に使用した画像(ファシミリで再入力したので厳密には同一ではない)の中から無作為に145サンプル、他の画像から20サンプルを抽出し、分類実験を行った。その結果を表すに示す。正解は人間の判断により決定した。

“汚染”を“かすれ”と判定した例が4つある。この内の2例を図9に掲げる。図9からもわかるように、この場合は抽出された画像内に本来の文字や線の

表3 認識実験結果

		実験システムの判定			
		がすれ	良質	汚染	拒否
未知パターン 正解	がすれ	36	1	0	8
	良質	0	53	0	4
	汚染	4	0	43	16

SAPORS LANE 8 ER
TELEPHONE BOOKS

56

図9 画質判定誤りの例

含まれていろ割合が小さく、極端に“がすれ”と区別がつき難い。合法パターンで近似できない細い線を含んでいる場合もこの誤りが起つていて。

エラー率を低くするため、このシステムでは拒否率がかなり高くなっている。画質判定の主な目的は、その後の処理の方向づけである。従って、明確な“汚染”や“がすれ”が予め区別できればよいが、拒否の約80%が“汚染”と“がすれ”を判定する所で発生している点が大きな問題である。すなはち、前の判定で“良質”ではないと判定された画像が“汚染”であるか、“がすれ”であるかの判定で拒否される。これは、この判定で大きは重みをもつ特徴パラメータが、対象画像に含まれる線の量に依存していることが、主な原因である。

この手法は、MOLD理論に基づいて合法パターンに基礎を置いている。表3の実験結果を見れば、合法パターンは“良質”を“汚染”、“がすれ”から区別する時に大変有効であり、線の知識表現としての有用性が確認できる。

5. おわりに

2値の線図形を記述するMOLD理論の

情報処理分野への応用として、合法パターンに基づく画質の判定法について述べた。対象画像の画質の分類は、人が行う場合でも判断の境界あたりは明確でないが、機械による判定が以後の処理を3方向に方向づける（黒を付加する・黒を落とす・その中間）ためのものであるならば、この手法は十分に適用できる。

計算機の利用が拡大するにつれ、扱う文書も複雑なものにはまることは明らかである。その時に入力される画像を予め分類し、以後の処理に対して方向づけを行なうという考え方は、ますます重要になると思われる。この手法は、その時の1つの有効な方法となり、それぞれの画質に適応した処理を施すことなどが可能となる。また、入力装置にこの手法を適用し、入力された画像ができるだけ“良質”文書となるように閾値を自動調整することやシェーディングの除去など、雑音と信号が混在する環境での処理を中心に種々の方面での手法が応用できると思われる。

今後は、“汚染”と“がすれ”を分離する特徴パラメータの強化と学習機能を付加し、判定能力を強化していく。

[参考文献]

- 1) David TING and Birendra PRASADA: Digital Processing Techniques for Encoding Graphics, Proc. of IEEE vol.68 no.7, pp259-269, 1980
- 2) 美濃導彦・坂井利之: MOLD理論—二値線図形の一記述法—信学校報 IE81-81, 1981, 11月
- 3) 坂井利之: パターン理解システムの体系的研究
文部省科学研究成果報告書, 1981, 8月